

FIG. 1A

2/34

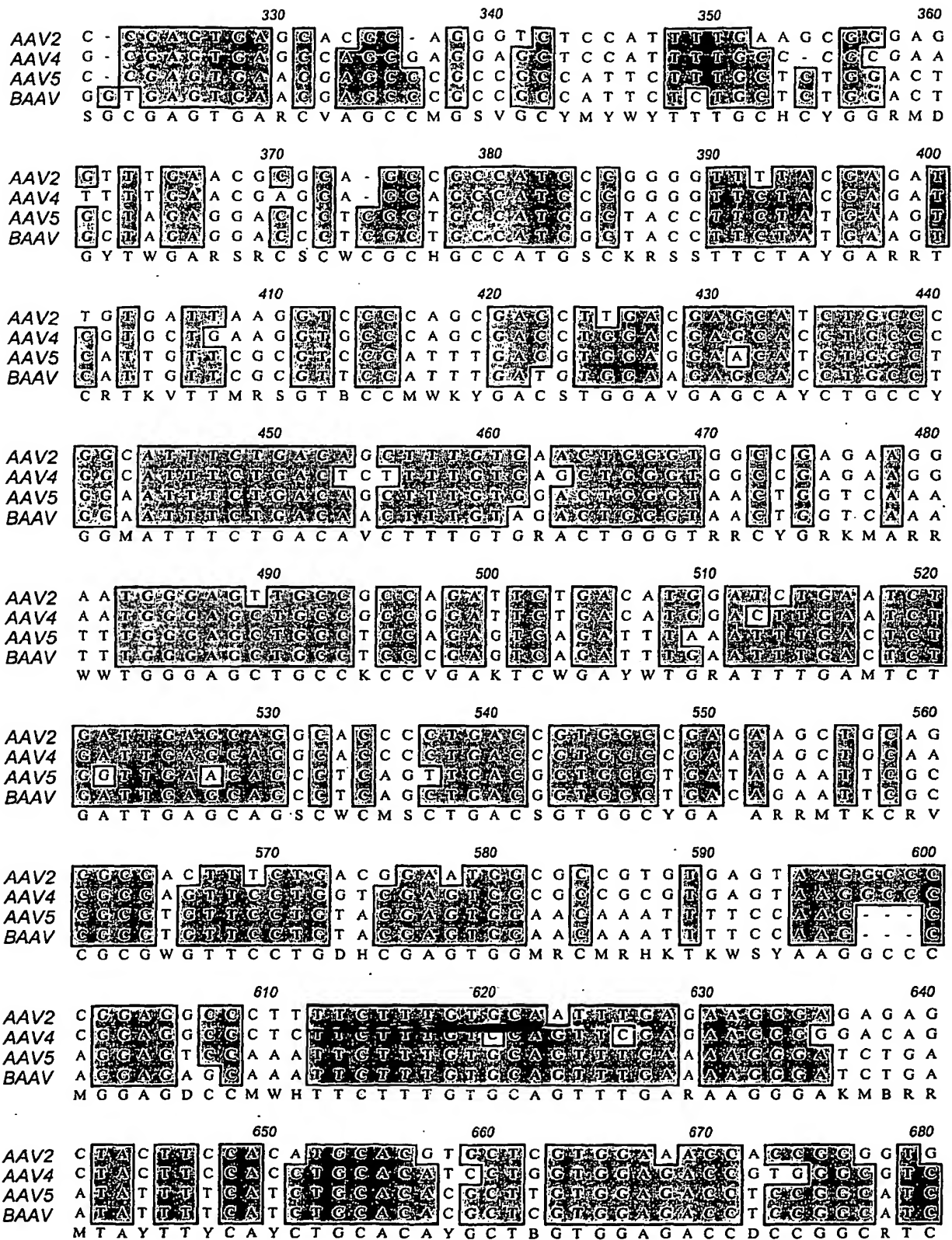


FIG. 1A (cont'd)

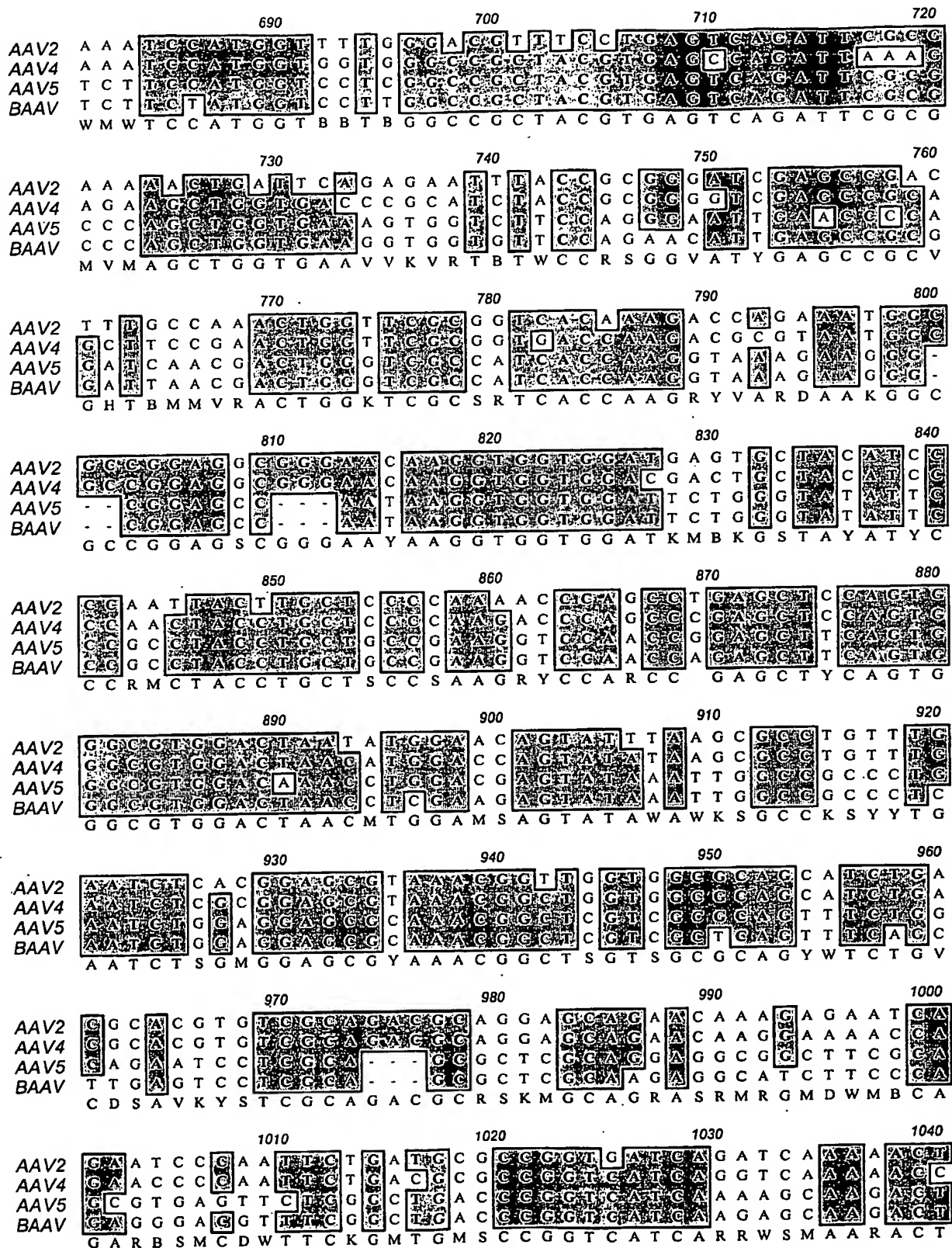


FIG. 1A (cont'd)

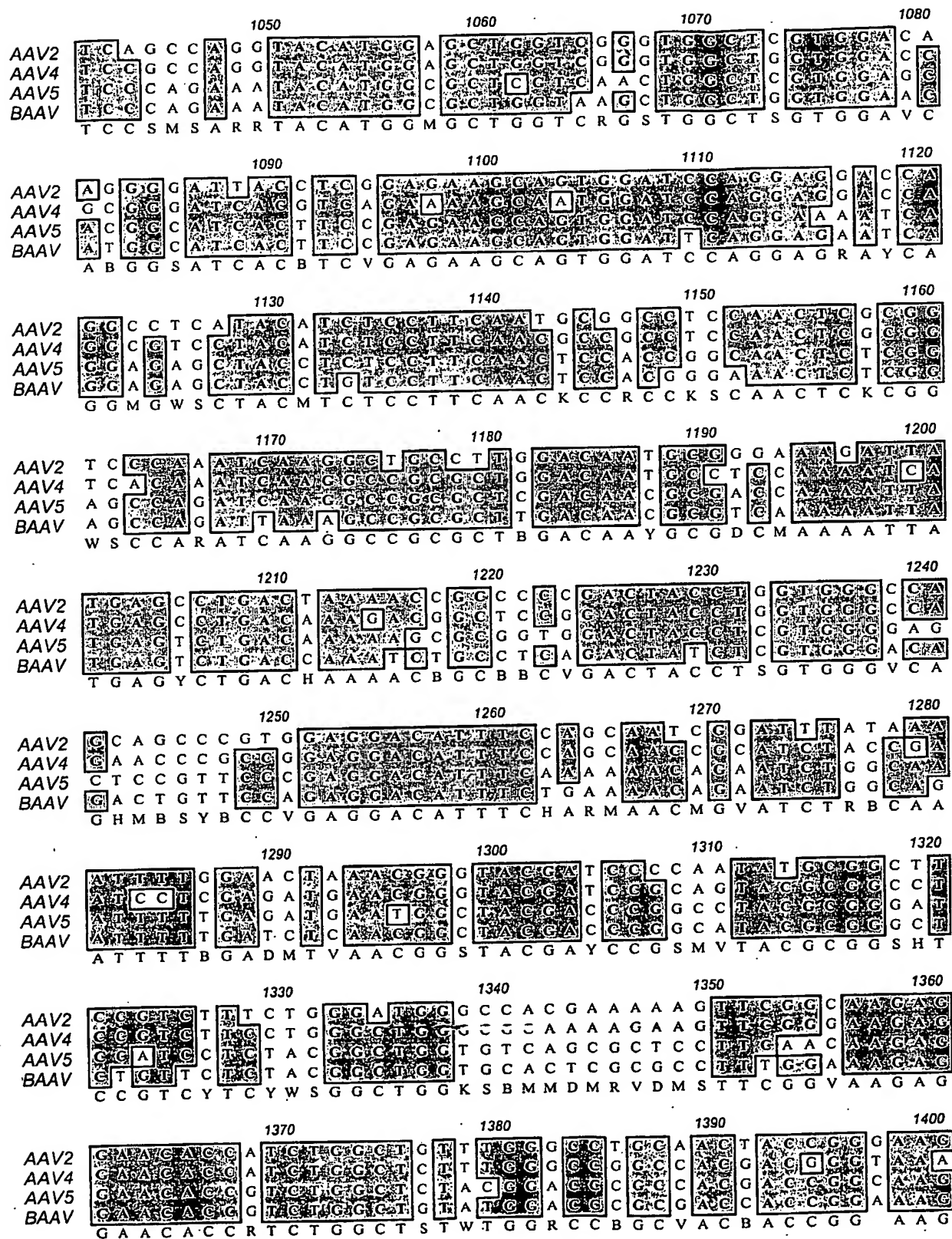


FIG. 1A (cont'd)

5/34

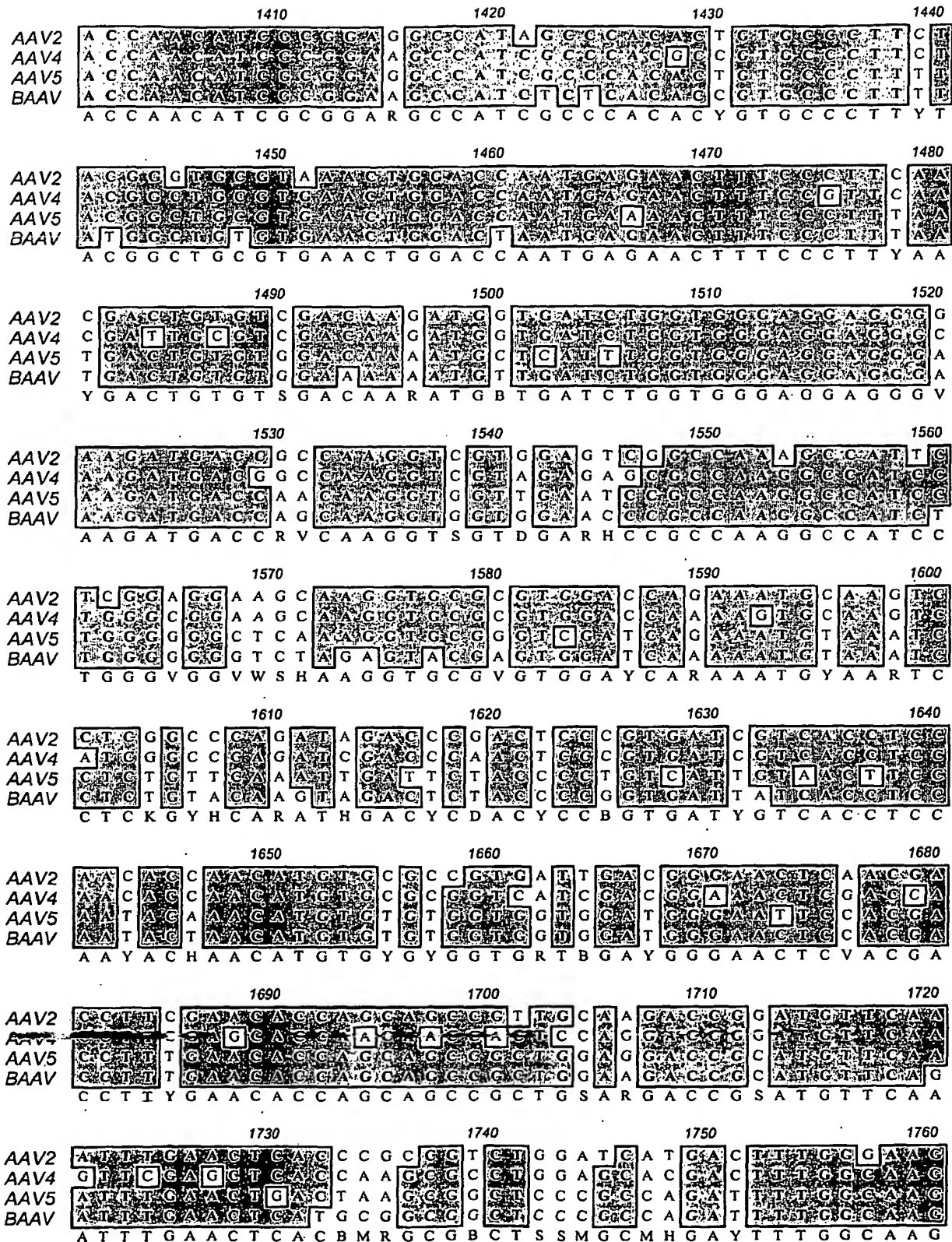


FIG. 1A (cont'd)



6/34

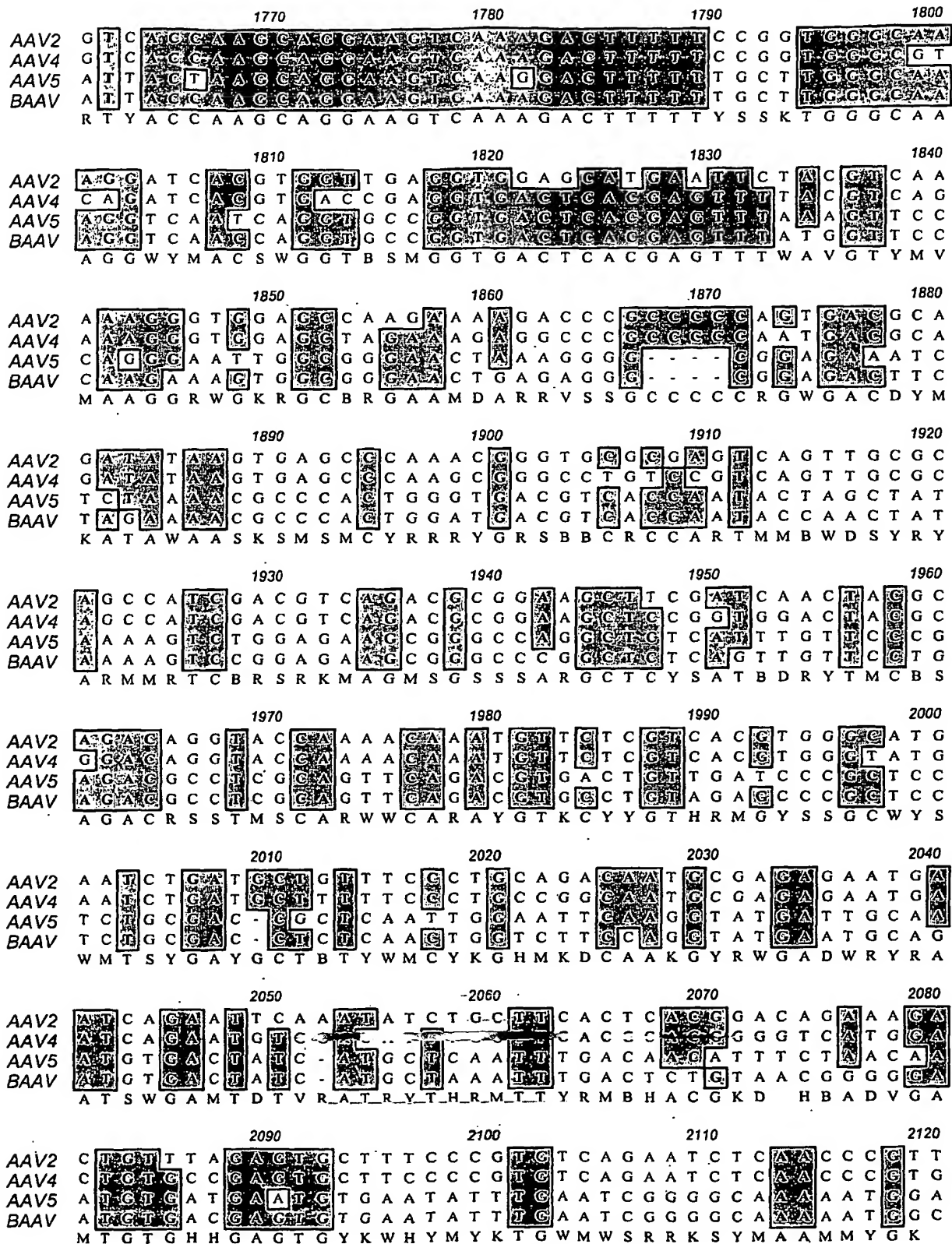


FIG. 1A (cont'd)

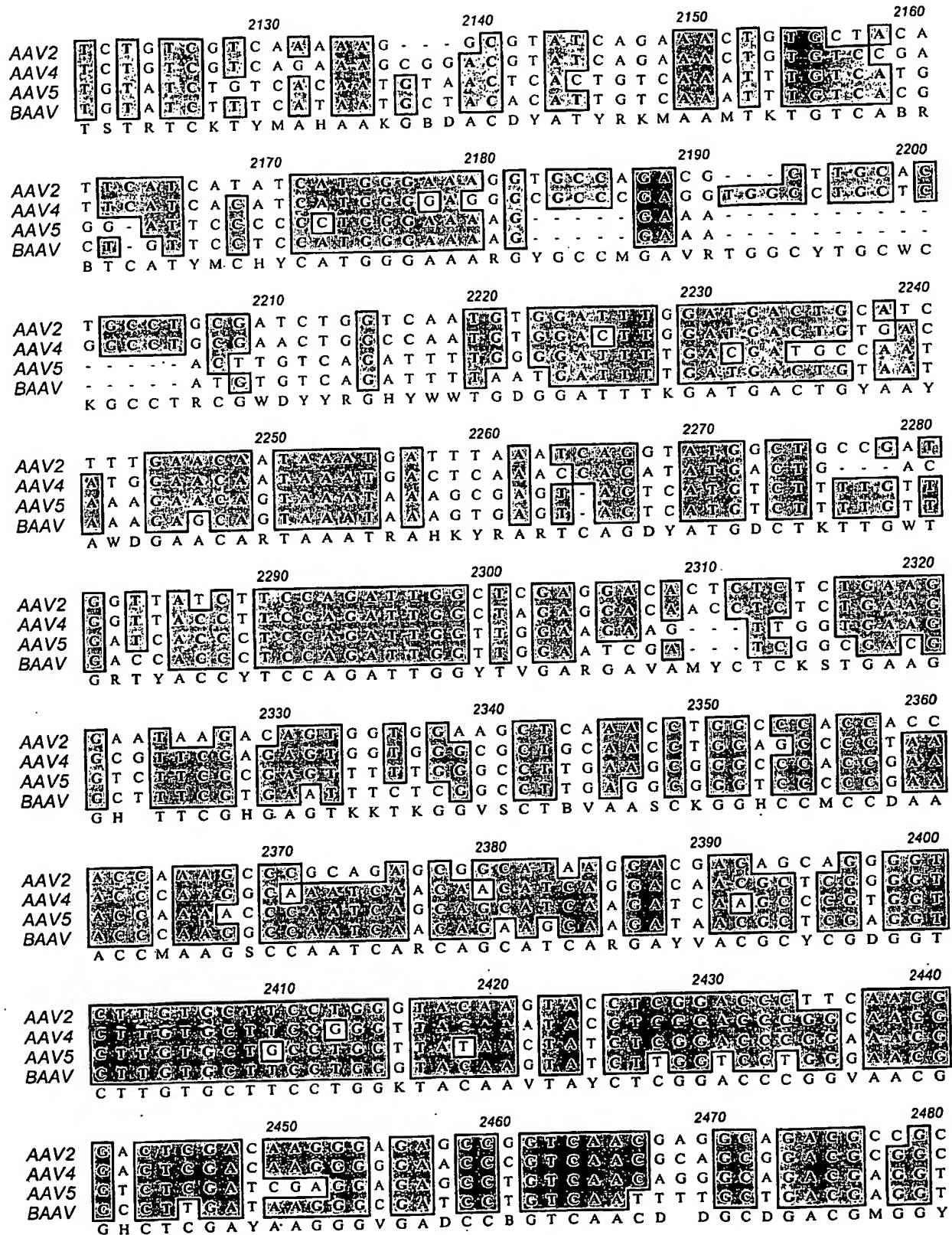


FIG. 1A (cont'd)

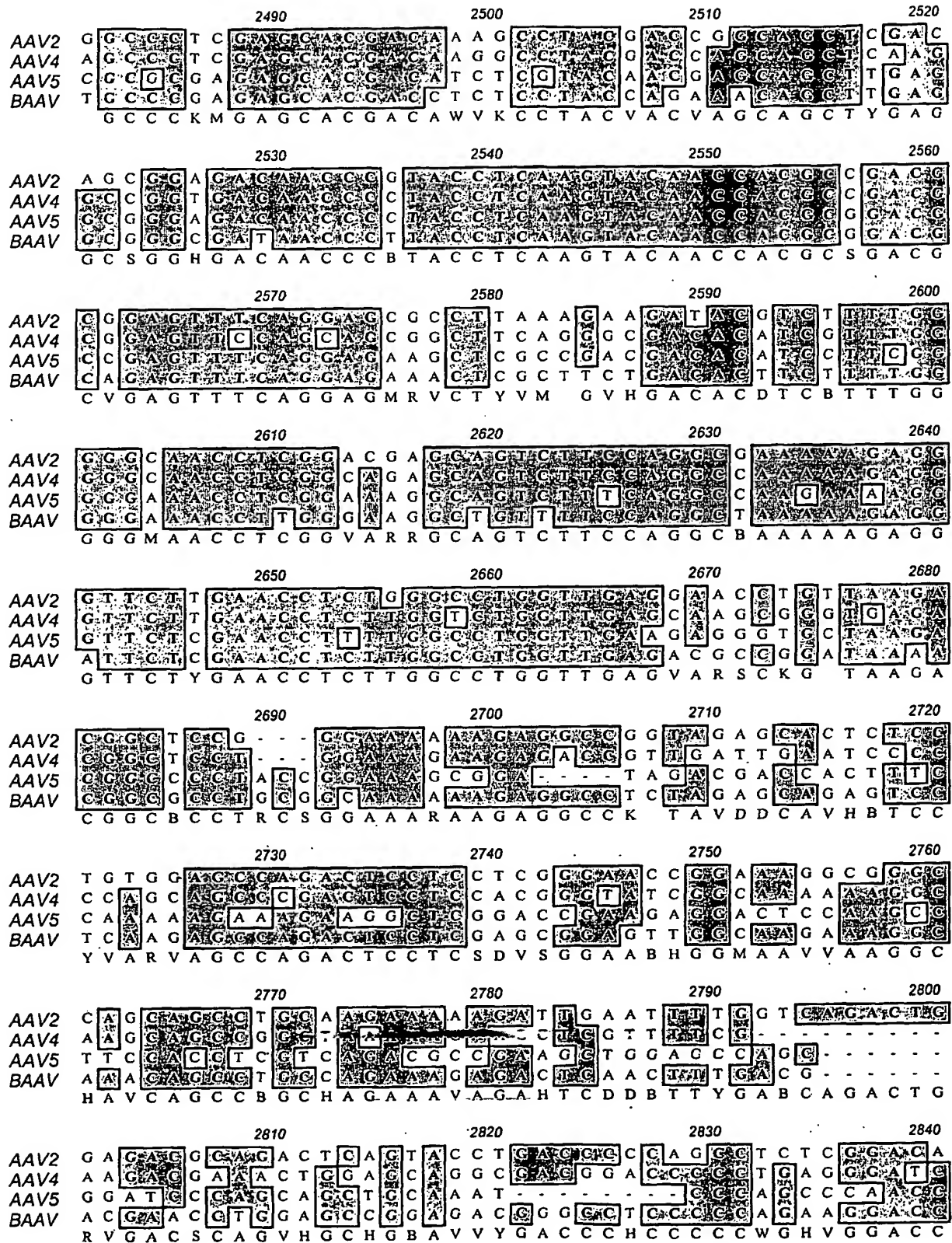


FIG. 1A (cont'd)



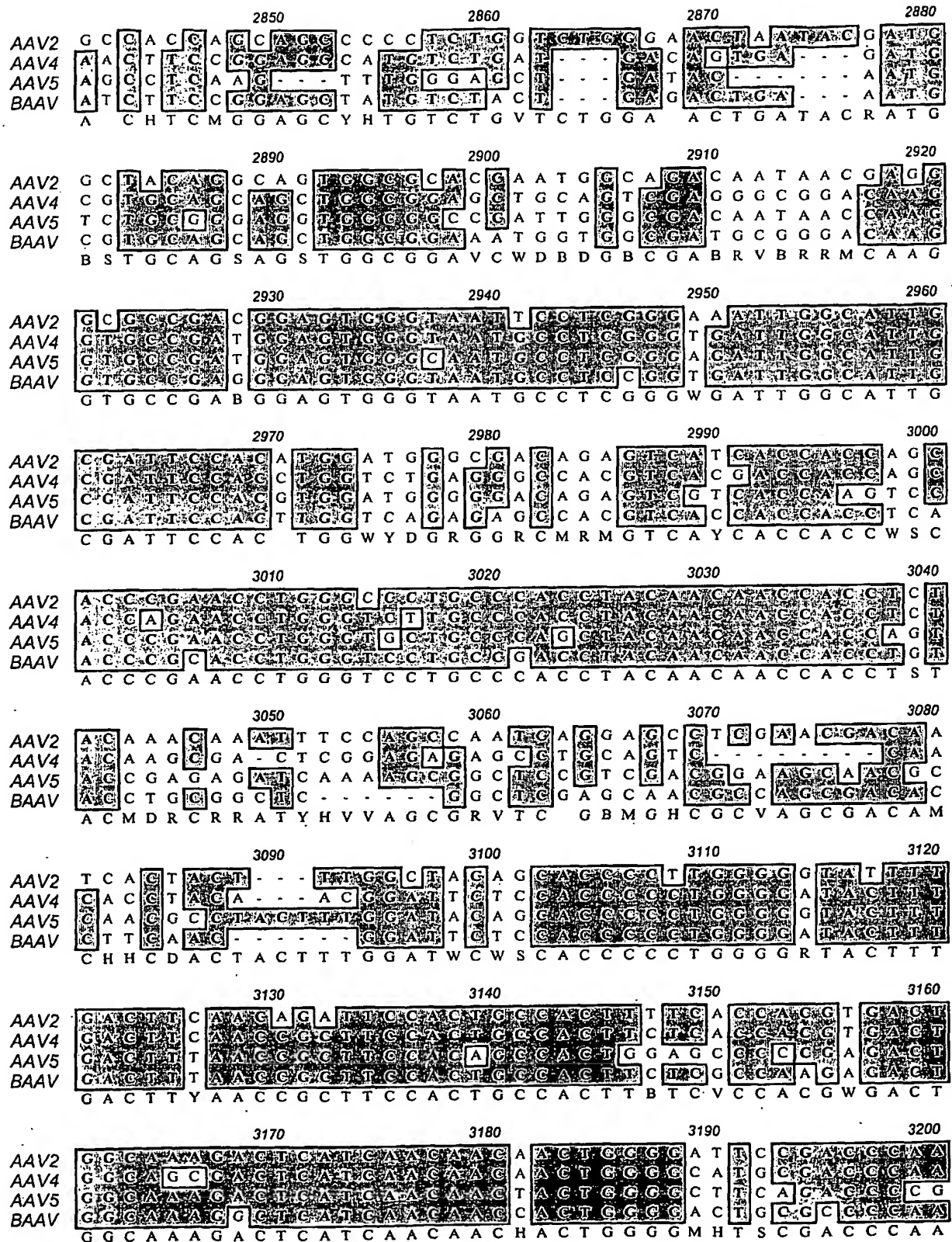


FIG. 1A (cont'd)

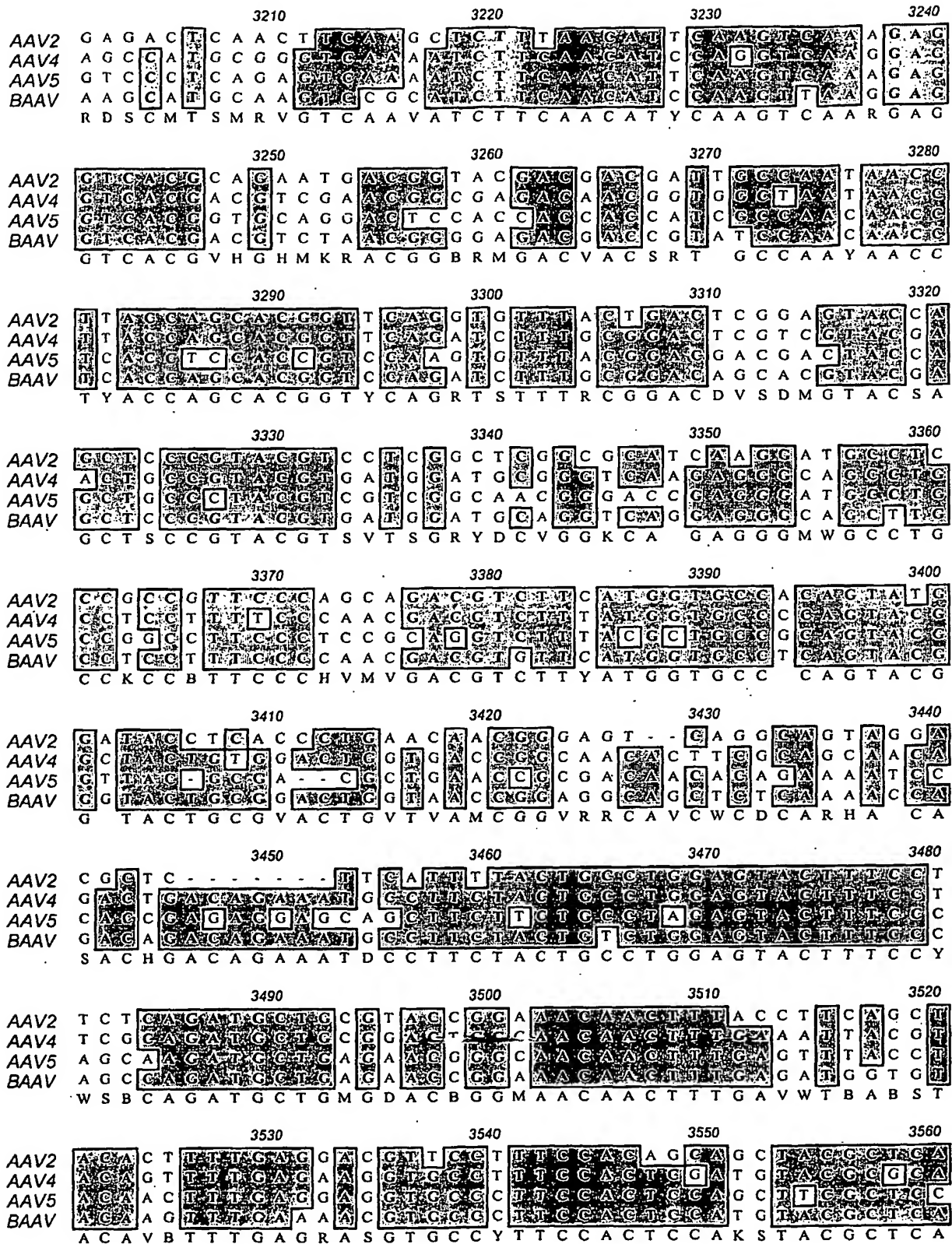


FIG. 1A (cont'd)

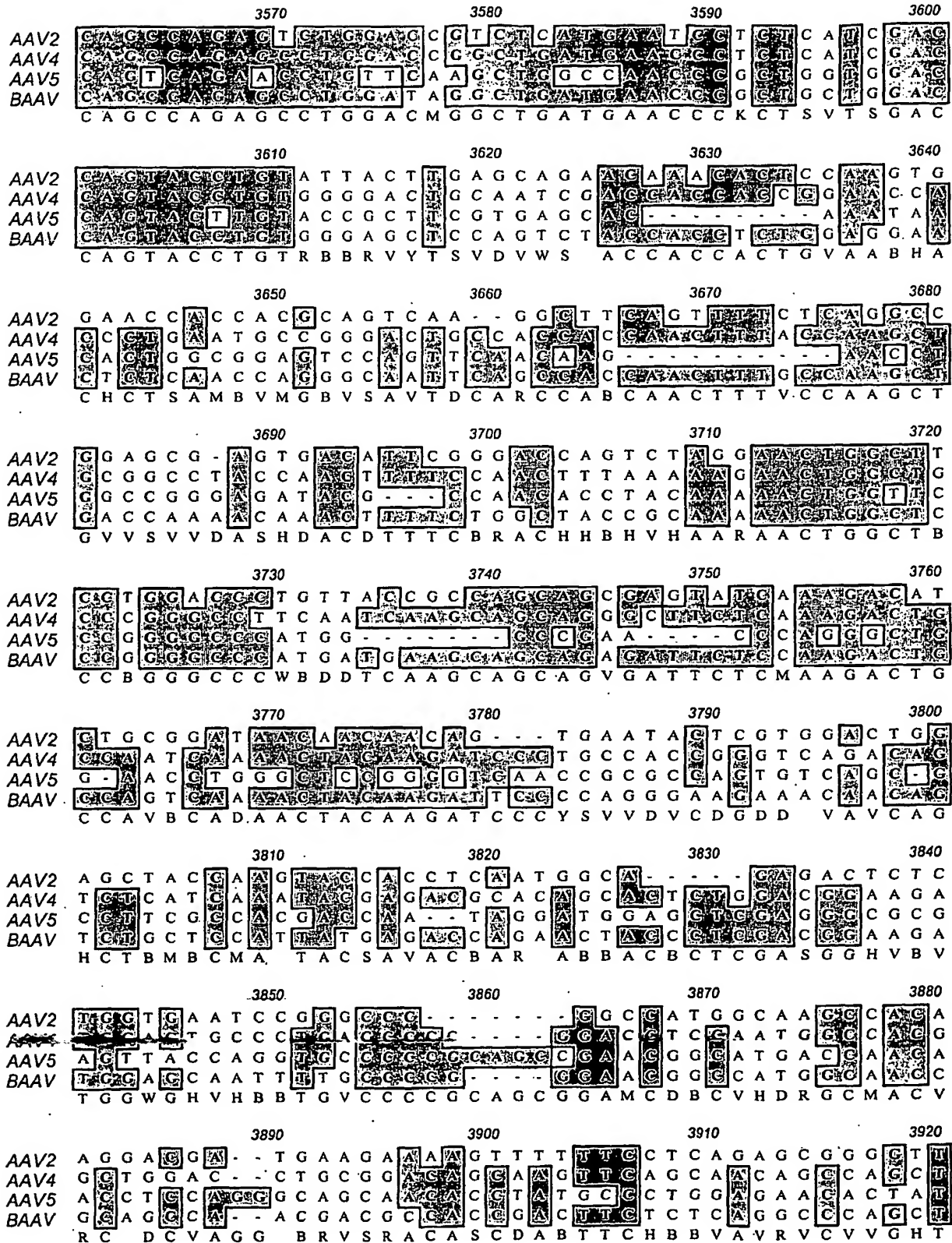


FIG. 1A (cont'd)

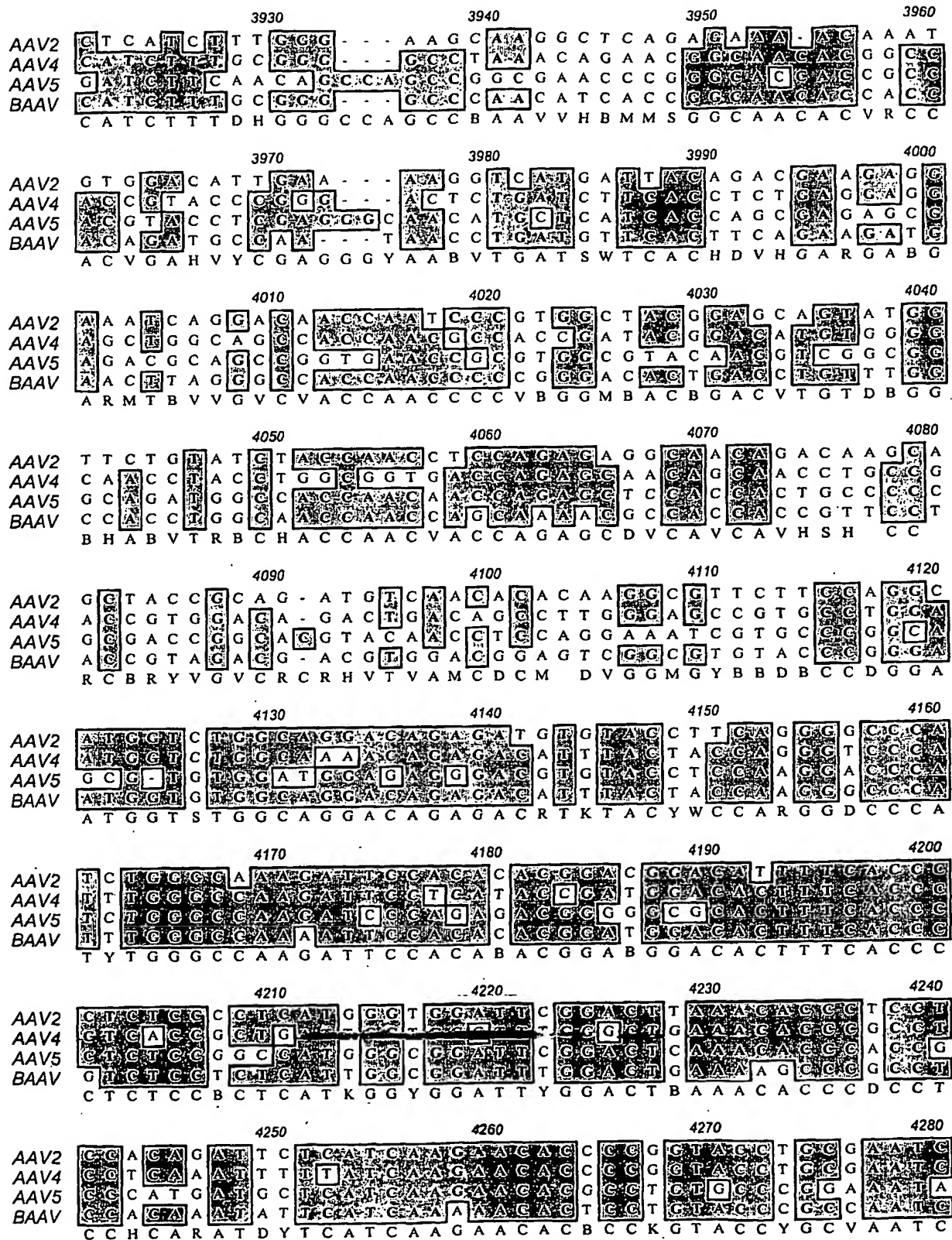


FIG. 1A (cont'd)

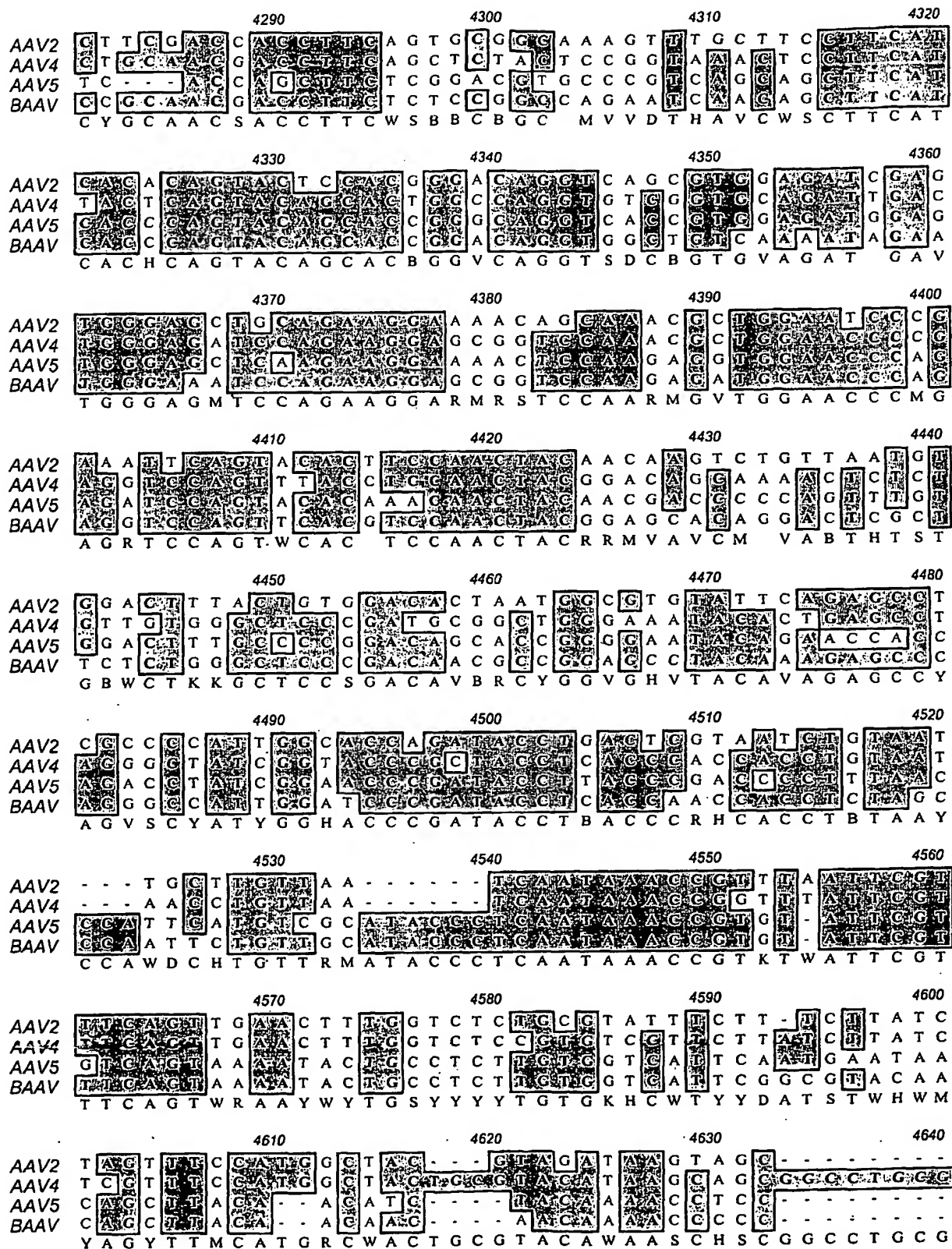


FIG. 1A (cont'd)



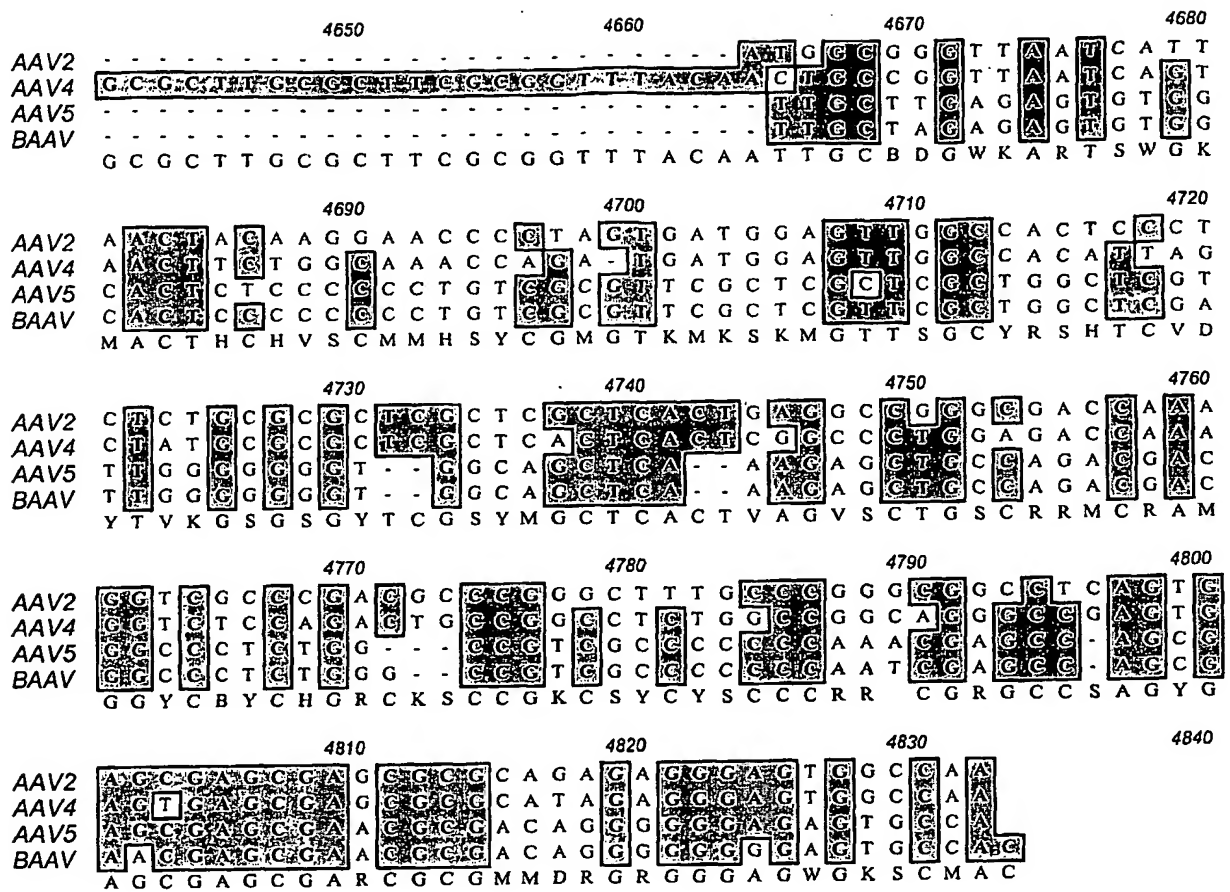


FIG. 1A (cont'd)

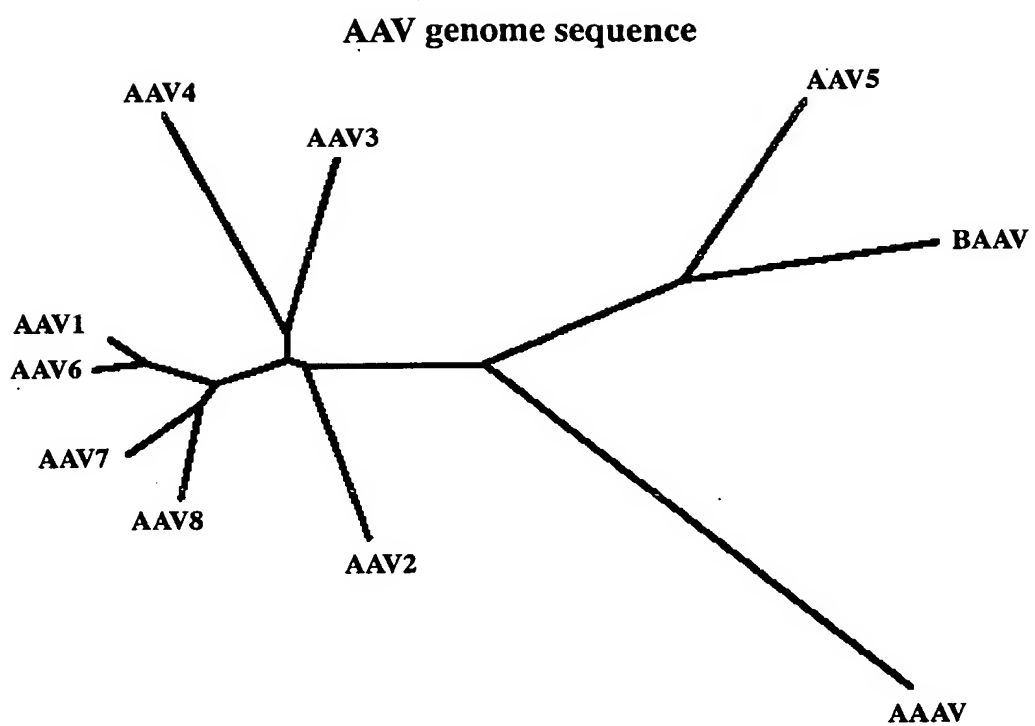
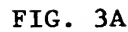


FIG. 1B





11-10



# Rep78

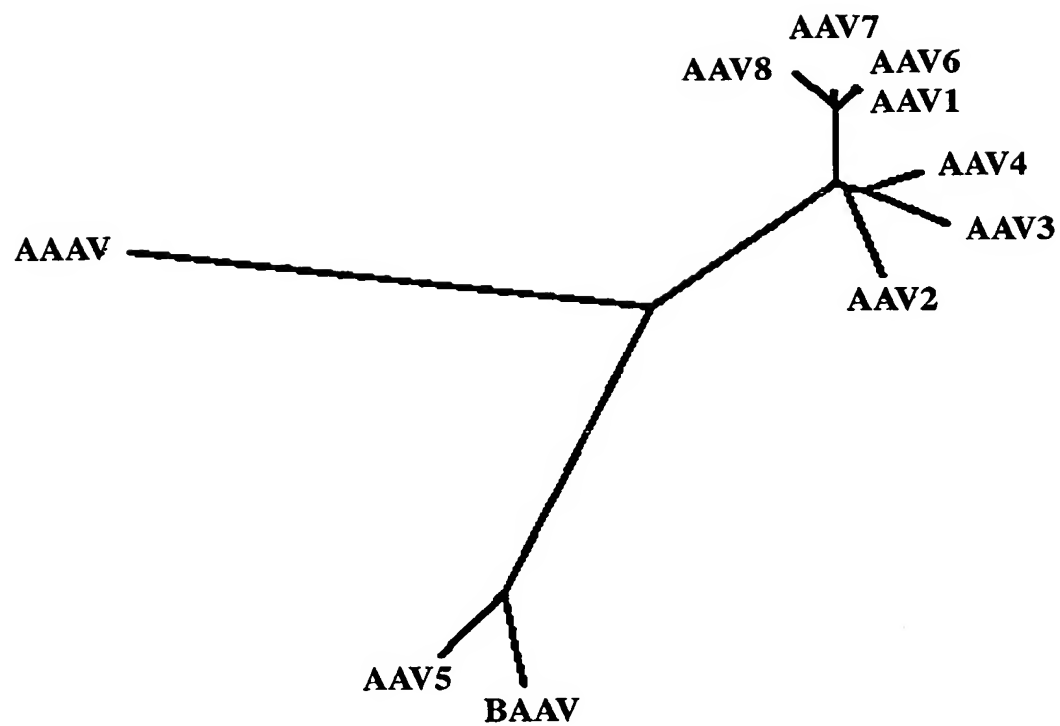


FIG. 3C

20/34

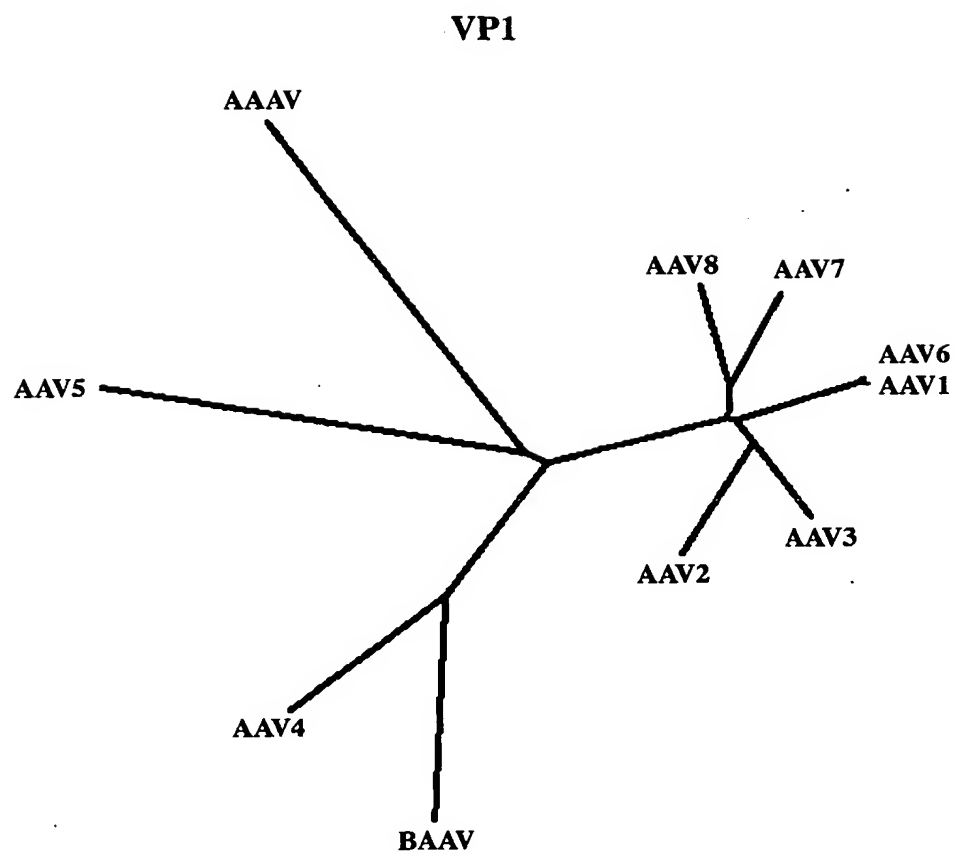


FIG. 3D

rBAAV-lacZ Transduction

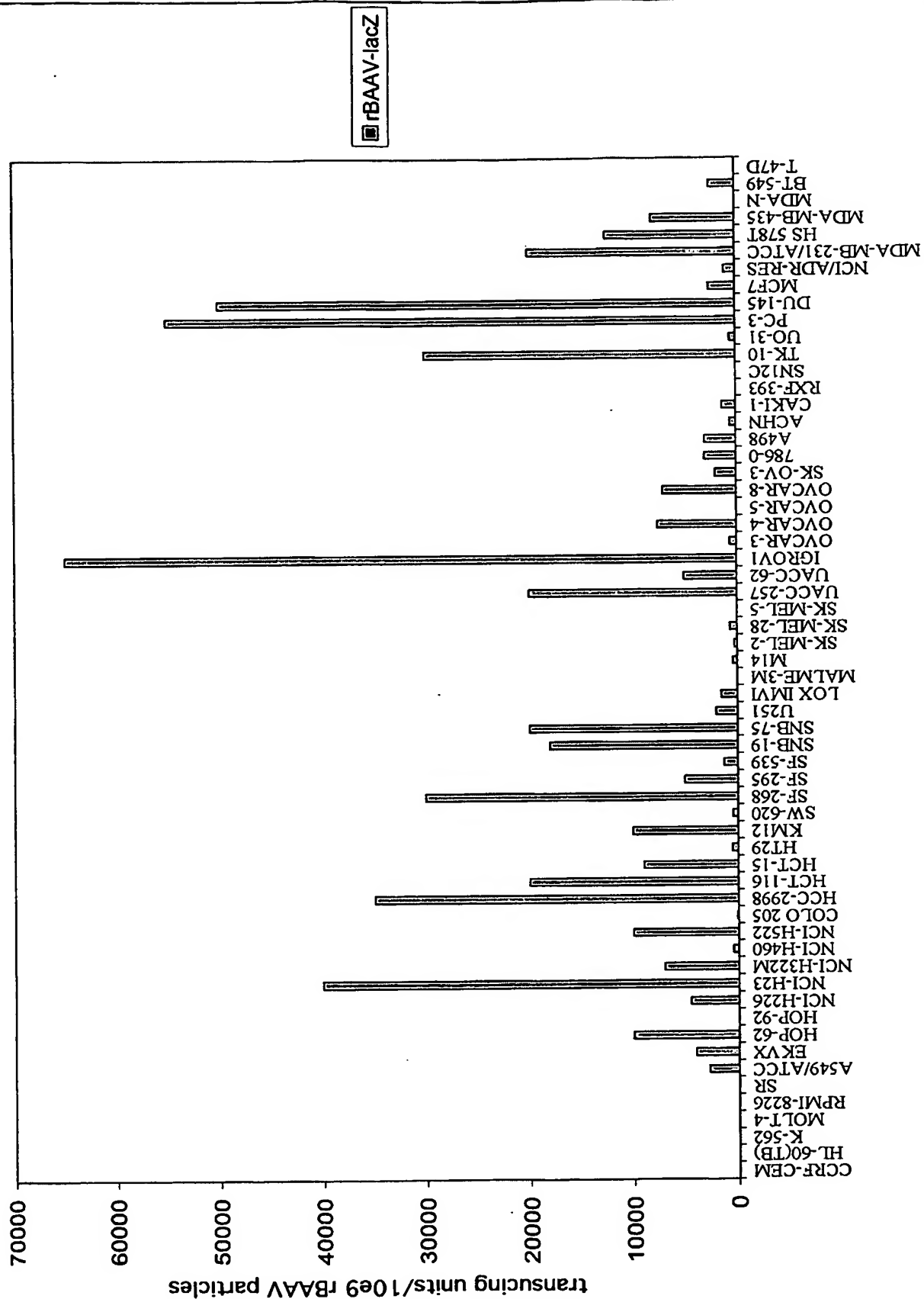


FIG. 4

22/34

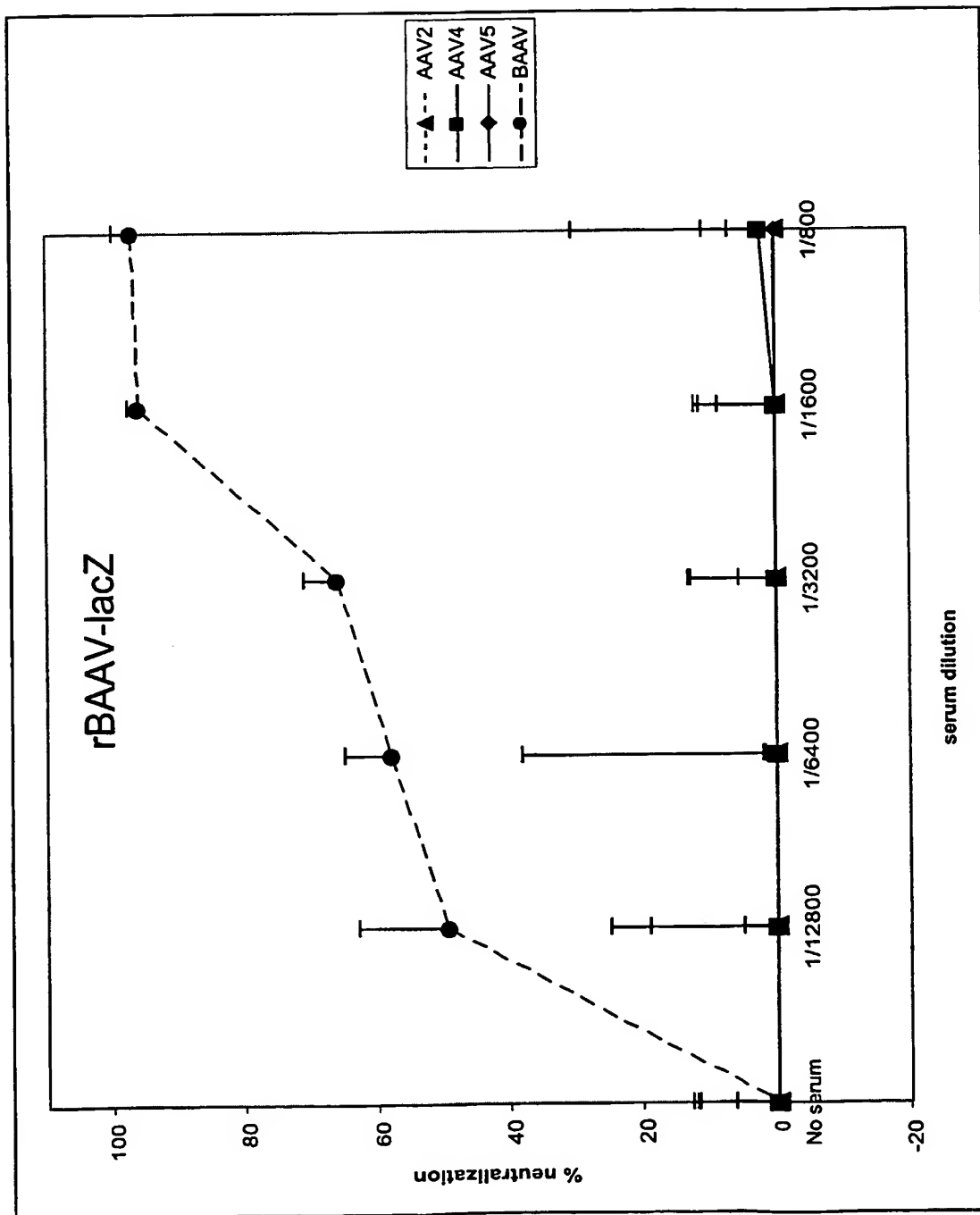


FIG. 5A

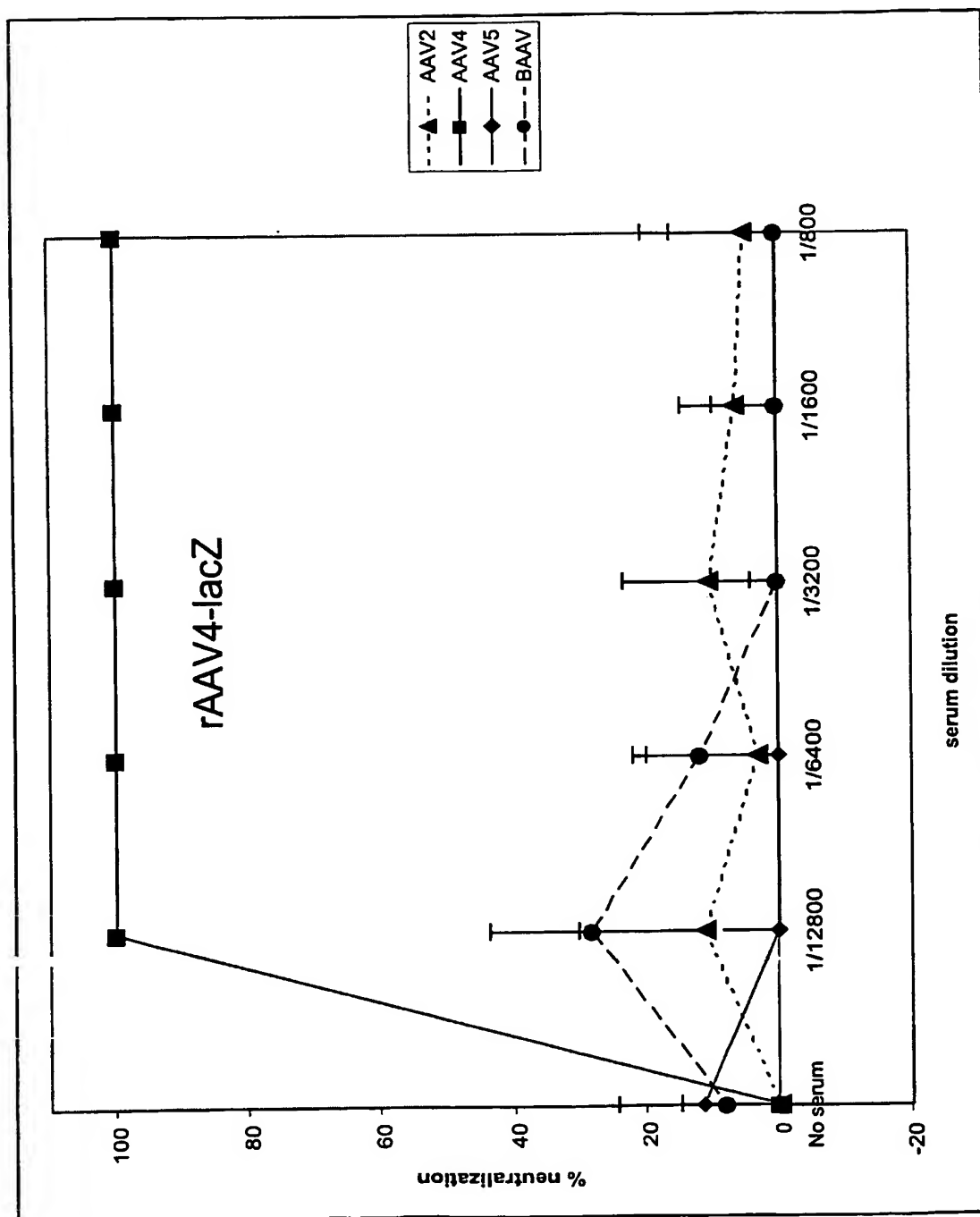


FIG. 5B



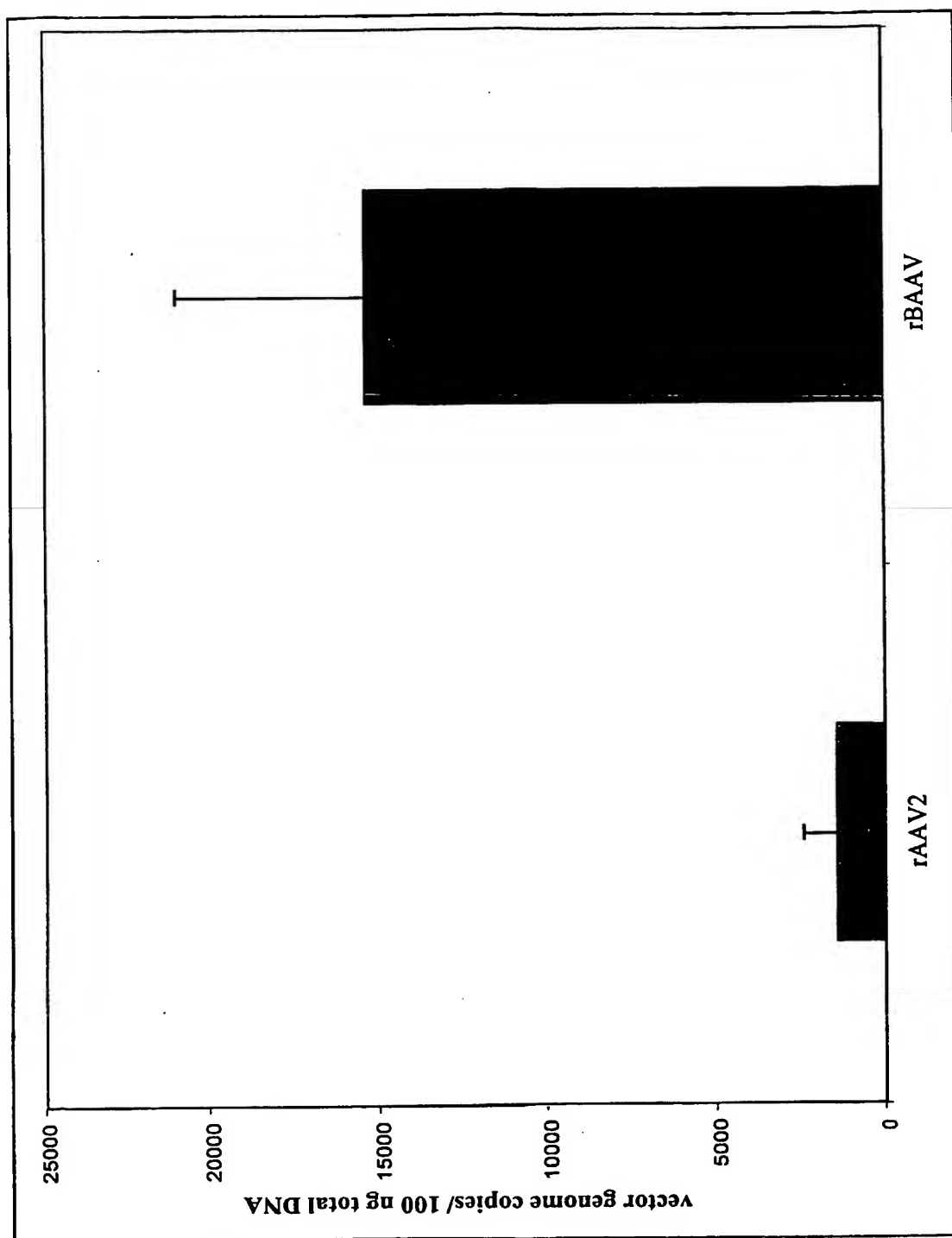


FIG. 6A

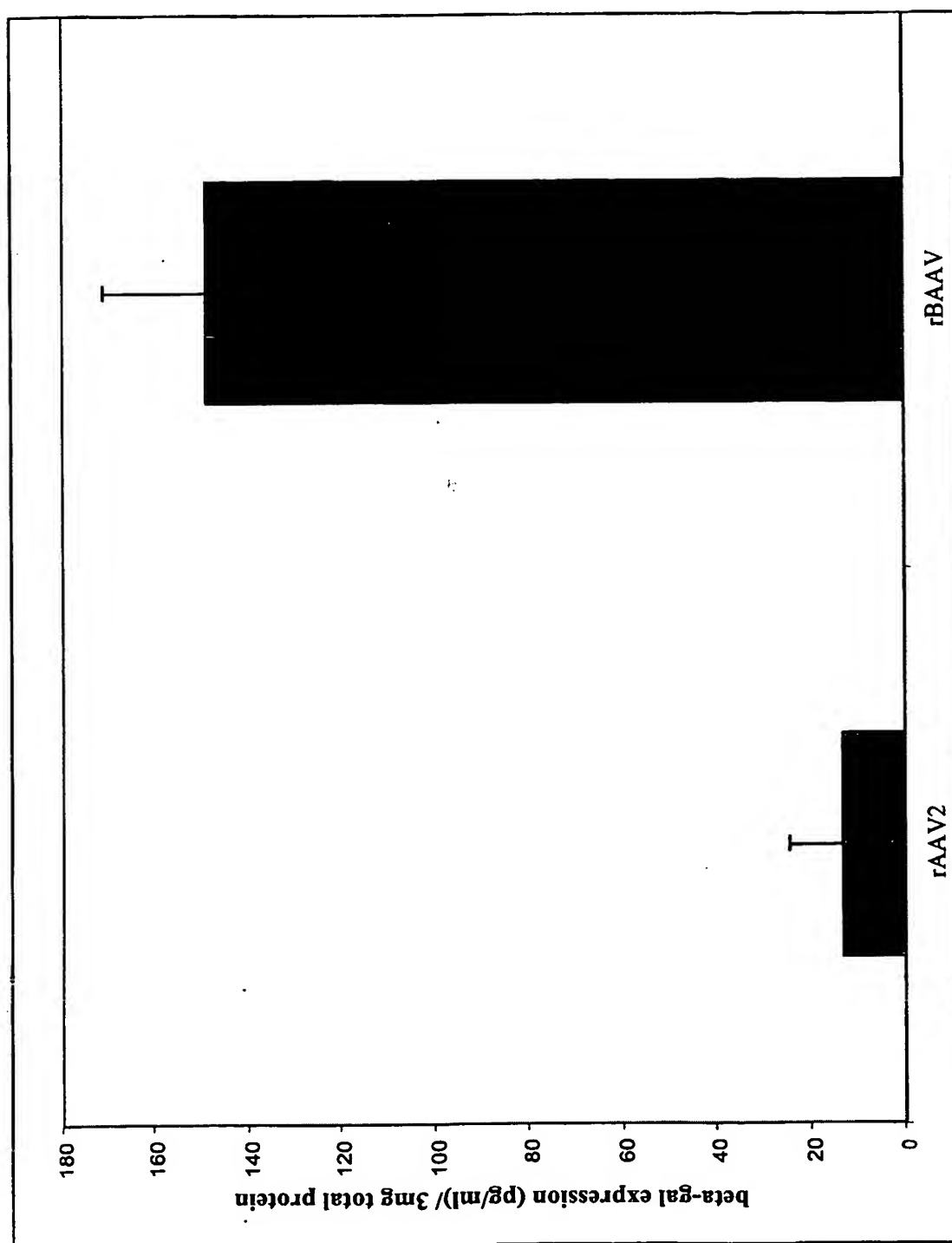


FIG. 6B

26/34

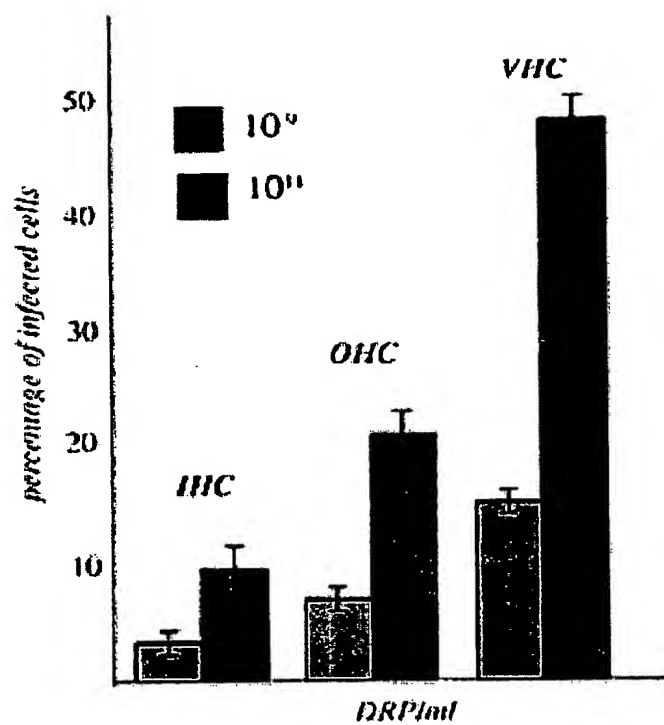


Fig. 7

27/34

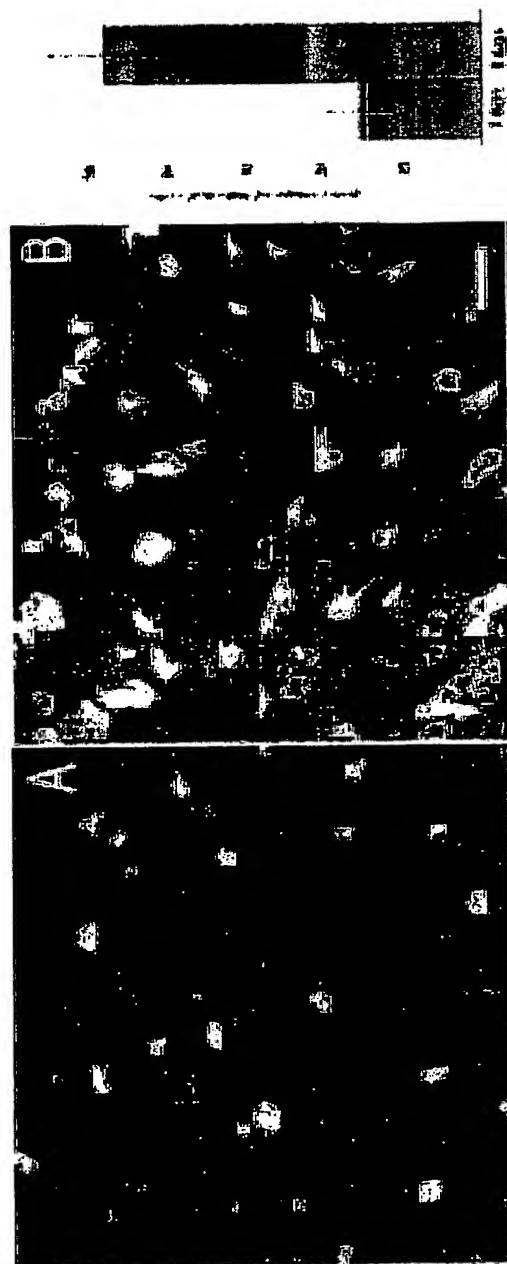
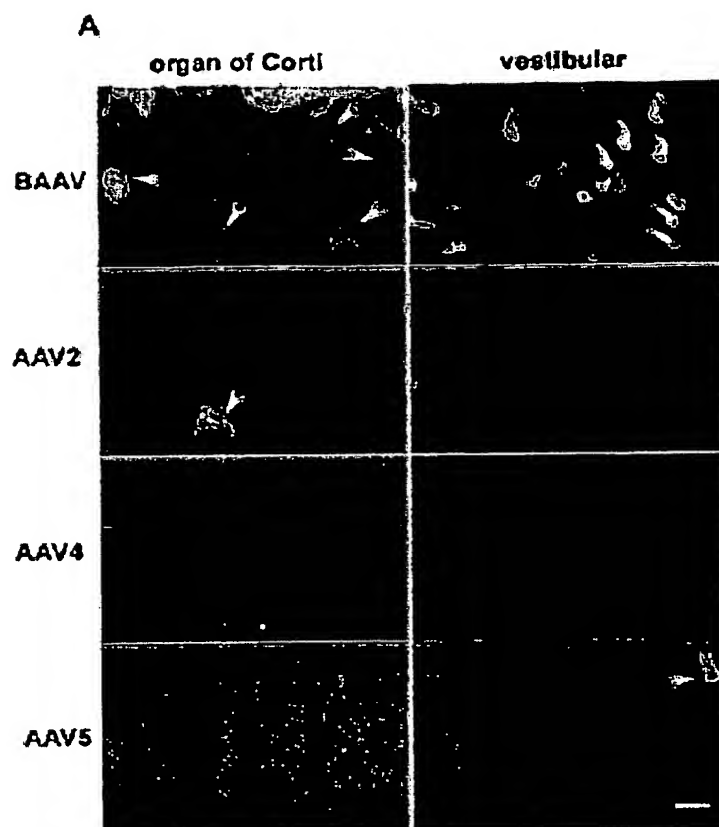


Fig. 8

28/34

**B**

	IHC	OHC	VHC
BAAV	16%	28%	48%
AAV2	4.73%	0%	0%
AAV4	0%	0%	0%
AAV5	0%	0%	1%

# Fig. 9



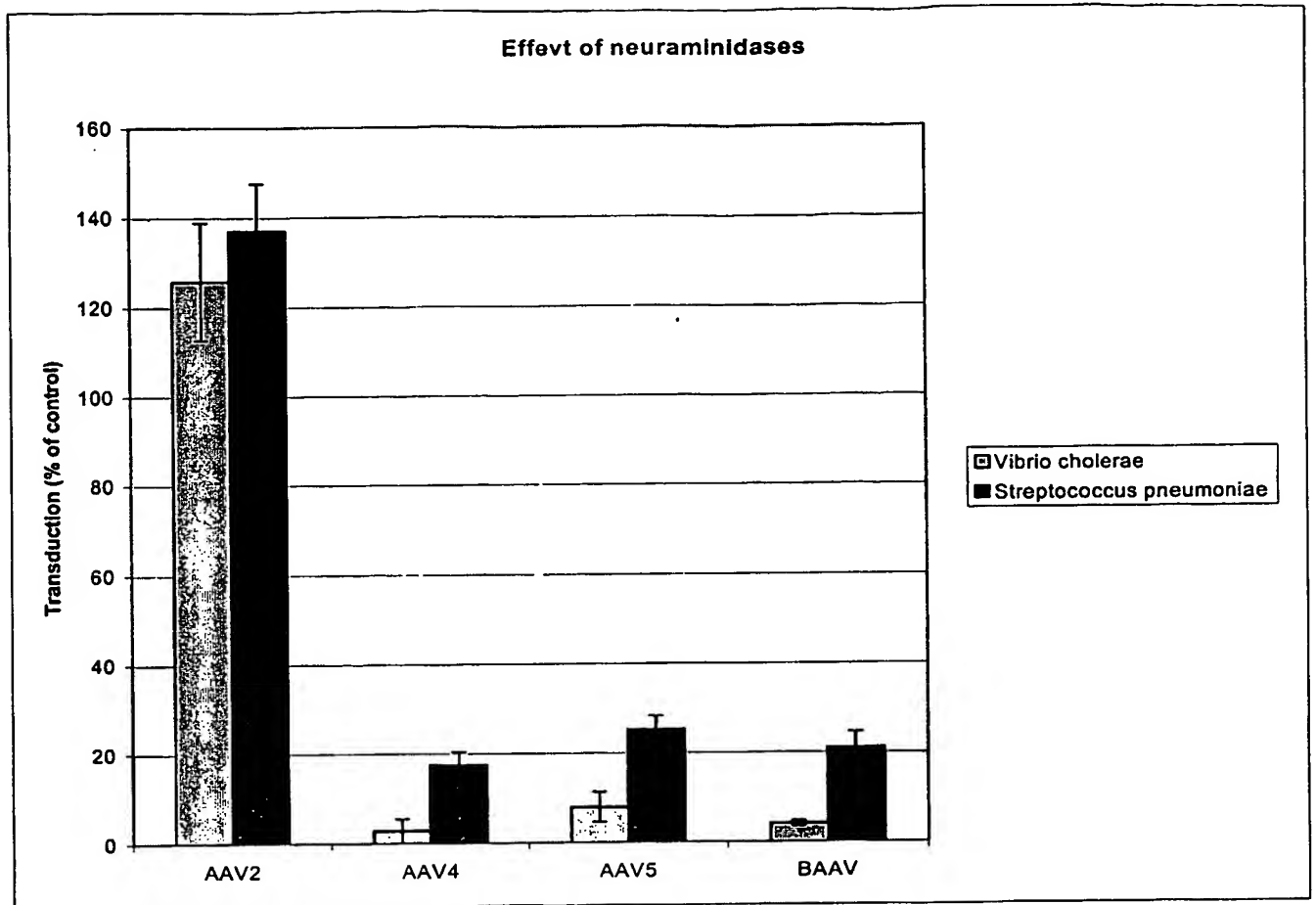


Fig. 10

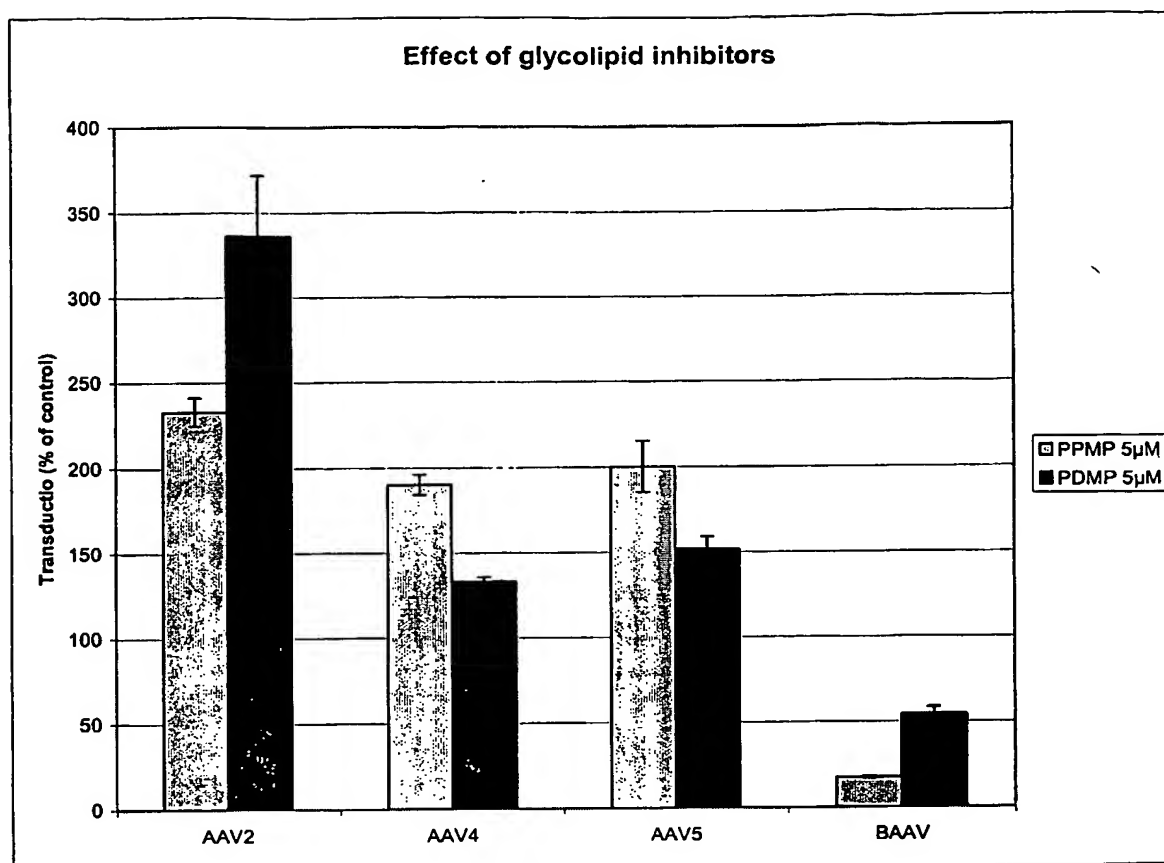


Fig.11

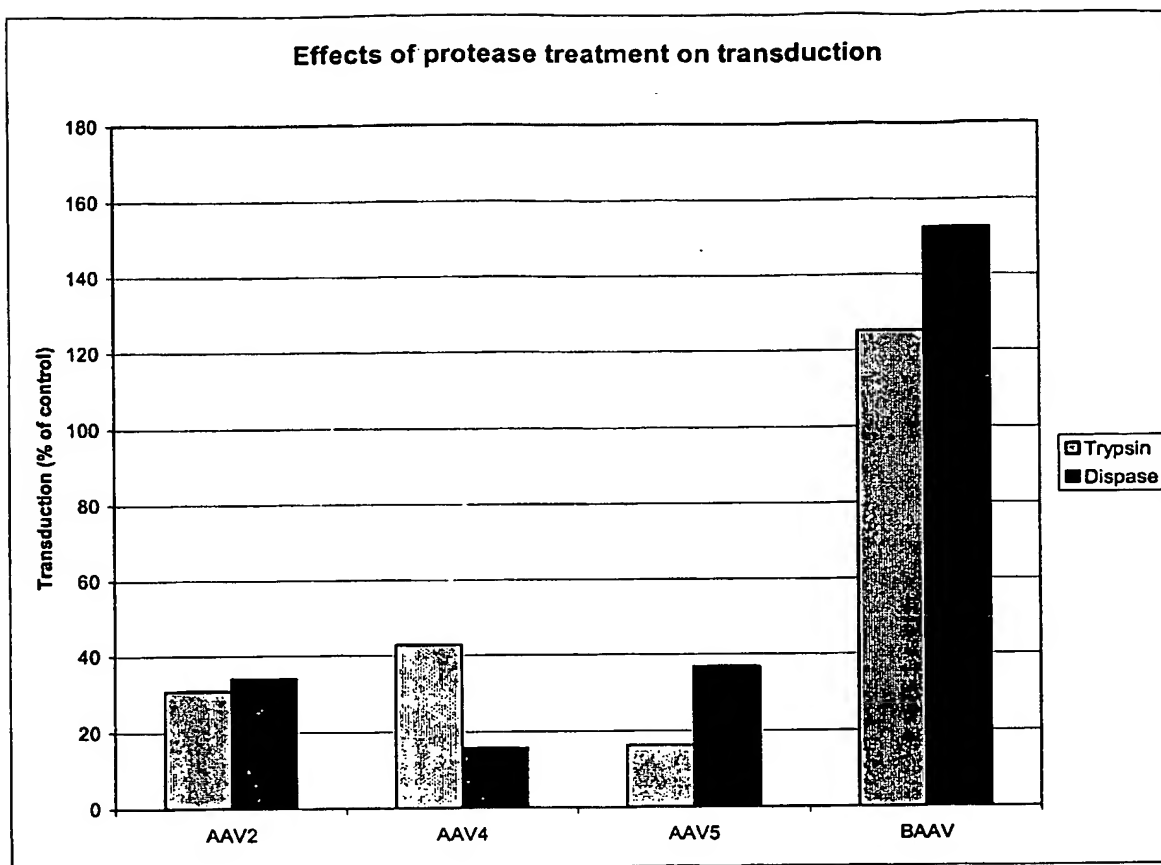


Fig. 12

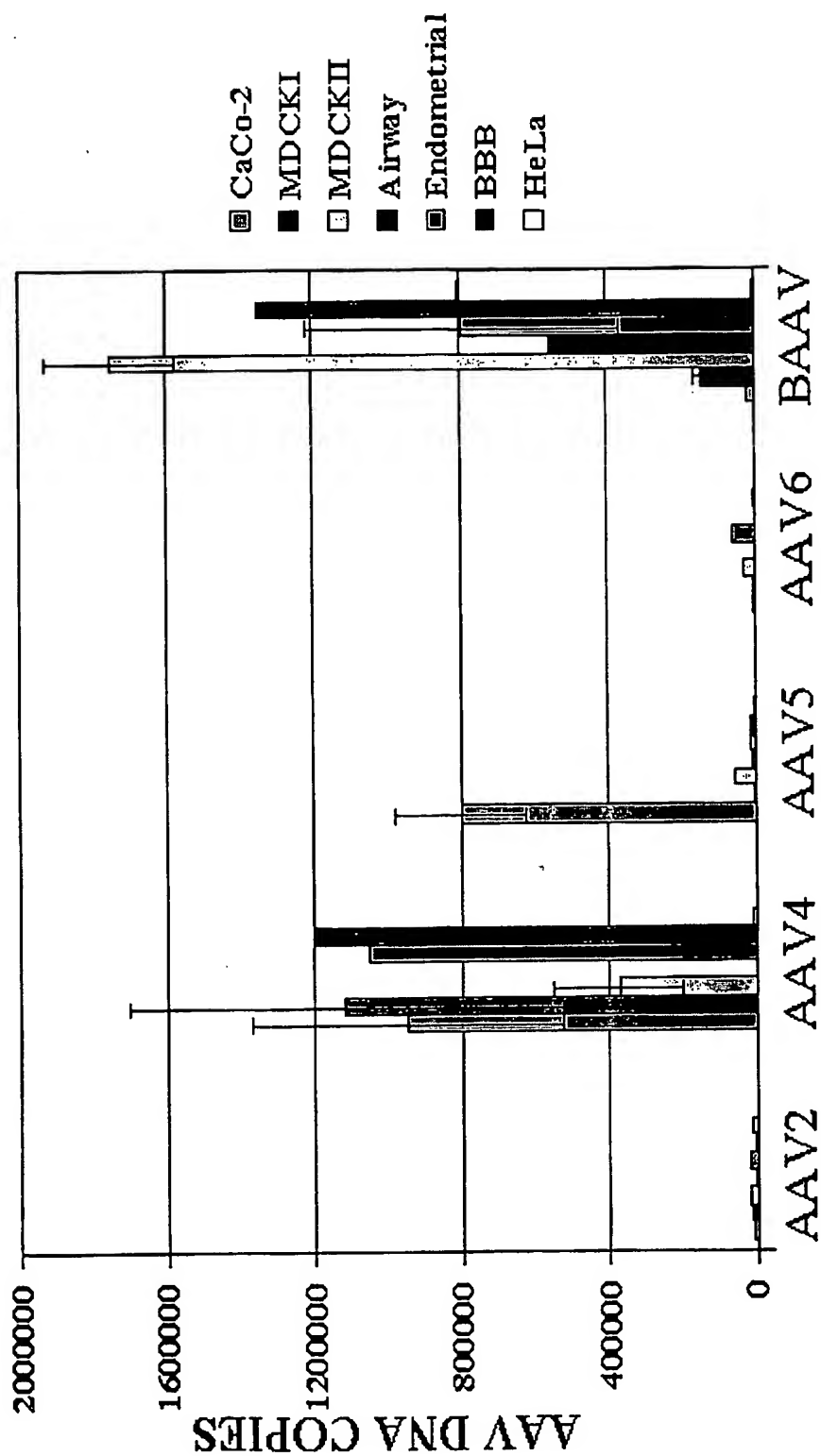


Fig. 13

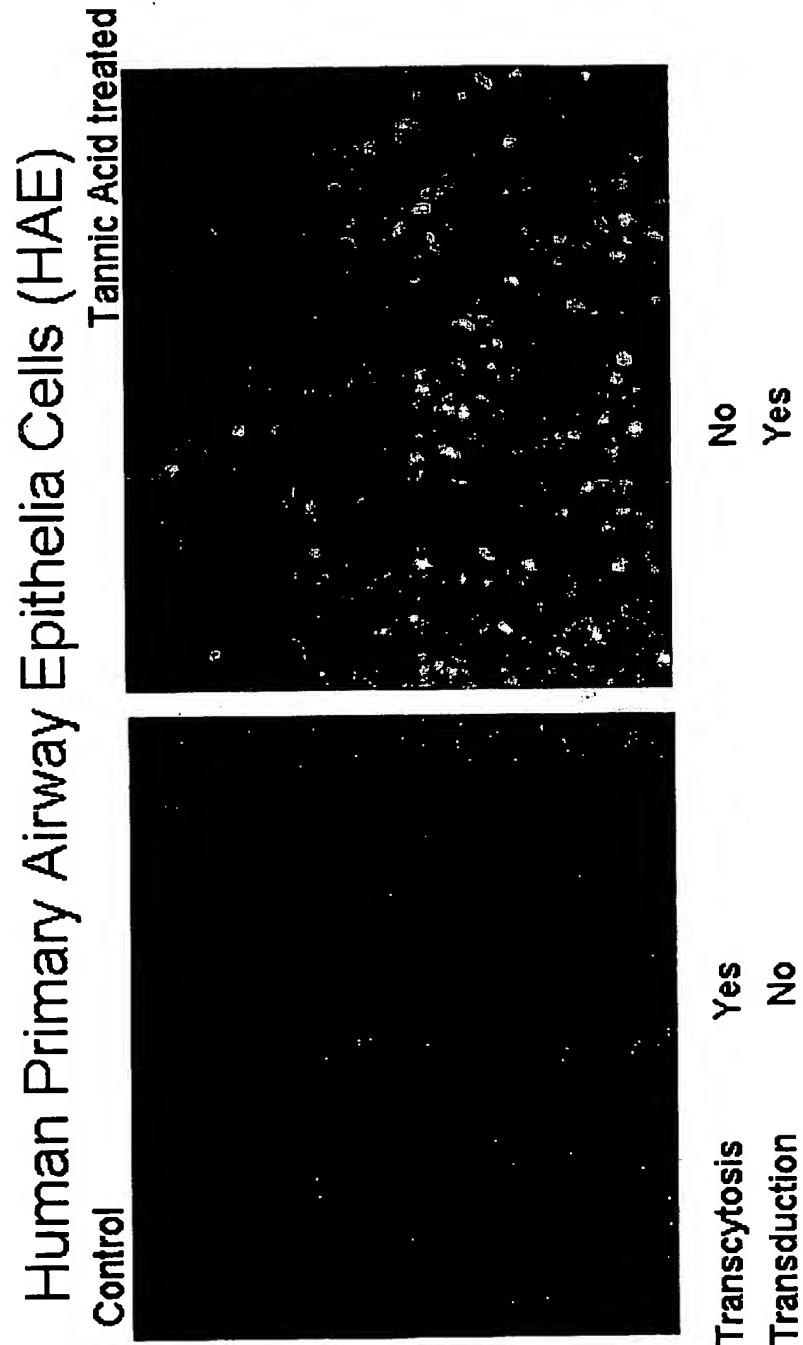
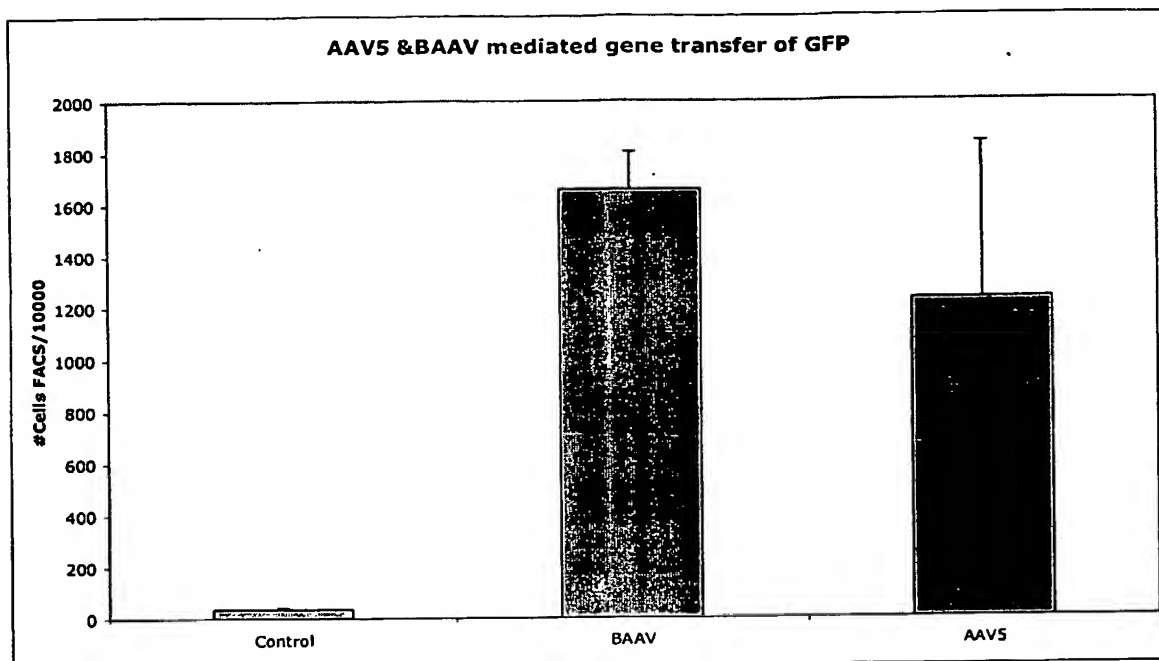


Fig. 14

34/34



# Fig.15